

การออกแบบตัวควบคุมสำหรับกระบวนการที่มีหลายอินพุทหลายเอาต์พุท
โดยการใช้การควบคุมเชิงแบบจำลองภายใน

นายถวัลย์ แสงสว่าง



วิทยานิพนธ์นี้เป็นส่วนหนึ่งของการศึกษาตามหลักสูตรปริญญาวิศวกรรมศาสตรมหาบัณฑิต

สาขาวิศวกรรมเคมี ภาควิชาวิศวกรรมเคมี

บัณฑิตวิทยาลัย จุฬาลงกรณ์มหาวิทยาลัย

ปีการศึกษา 2541

ISBN 974-331-817-8

ลิขสิทธิ์ของบัณฑิตวิทยาลัย จุฬาลงกรณ์มหาวิทยาลัย

CONTROLLER DESIGN FOR MULTI-INPUT MULTI-OUTPUT PROCESS
USING INTERNAL MODEL CONTROL

Mr.Thawal Saengsawang

A Thesis Submitted in Partial Fulfillment of the Requirements
for the Degree of Master of Engineering in Chemical Engineering

Department of Chemical Engineering

Graduate School

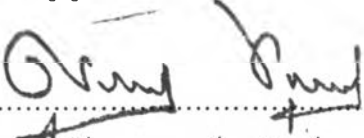
Chulalongkorn University

Academic Year 1998

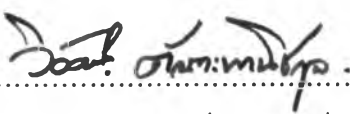
ISBN 974-331-817-8


หัวข้อวิทยานิพนธ์ การออกแบบตัวควบคุมสำหรับกระบวนการที่มีหลายอินพุตหลายเอาต์พุต
โดยการใช้การควบคุมเชิงแบบจำลองภายใน
โดย นายถวัลย์ แสงสว่าง
ภาควิชา วิศวกรรมเคมี
อาจารย์ที่ปรึกษา อาจารย์ ดร.มนตรี วงศ์ศรี

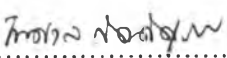
บัณฑิตวิทยาลัย จุฬาลงกรณ์มหาวิทยาลัย อนุมัติให้วิทยานิพนธ์ฉบับนี้เป็นส่วน
หนึ่งของการศึกษาตามหลักสูตรปริญญาวิทยาศาสตรบัณฑิต



.....คณบดีบัณฑิตวิทยาลัย
(ศาสตราจารย์ นายแพทย์ สุภวัฒน์ ชูติวงศ์)

คณะกรรมการสอบวิทยานิพนธ์


.....ประธานกรรมการ
(ศาสตราจารย์ ดร.วิวัฒน์ ตันตะพานิชกุล)


.....อาจารย์ที่ปรึกษา
(อาจารย์ ดร.มนตรี วงศ์ศรี)


.....กรรมการ
(ผู้ช่วยศาสตราจารย์ ดร.ไพศาล กิตติสุภกร)


.....กรรมการ
(ผู้ช่วยศาสตราจารย์ ดร.รัชชัย ชรินพานิชกุล)

ถวัลย์ แสงสว่าง: การออกแบบตัวควบคุมสำหรับกระบวนการที่มีหลายอินพุต หลายเอาต์พุต
โดยการใช้การควบคุมเชิงแบบจำลองภายใน (CONTROLLER DESIGN FOR MULTI-
INPUT MULTI-OUTPUT PROCESS USING INTERNAL MODEL CONTROL)
อ.ที่ปรึกษา : อ. ดร.มนตรี วงศ์ศรี, 113 หน้า ISBN 974-331-817-8.

ในงานวิจัยนี้ได้ศึกษากระบวนการที่มีหลายอินพุตหลายเอาต์พุตของระบบที่เป็นอินพุตสองตัวแปรและเอาต์พุตสองตัวแปรโดยเลือกทรานส์เฟอร์ฟังก์ชันของกระบวนการอันดับหนึ่งที่มีเดดไทม์ การออกแบบตัวควบคุมที่ได้ทำการศึกษาวิจัยและเปรียบเทียบมีทั้งหมดสามแนวทางซึ่งประกอบด้วยการออกแบบตัวควบคุมเชิงแบบจำลองภายในที่มีหลายอินพุตหลายเอาต์พุตแบบลูพหุ้ม (MIMO IMC) การออกแบบตัวควบคุมเชิงแบบจำลองภายในที่มีหนึ่งอินพุต หนึ่งเอาต์พุตแบบลูพหุ้ม (SISO IMC) และการออกแบบตัวควบคุมแบบพีไอดี (PID) ผลการวิจัยทำให้ทราบว่า การออกแบบตัวควบคุมของ IMC ที่มีดีคัทเพลอร์ซึ่งใช้แนวความคิดแบบใหม่นั้น “ดีคัทเพลอร์แบบน้ำหนัก” และโดยการใช้ดีคัทเพลอร์แบบบางส่วน จะให้ผลการตอบสนองที่ดีหรือมีความเหมาะสมมากกว่าการออกแบบตัวควบคุมของ IMC ที่ไม่มีดีคัทเพลอร์ (SISO IMC) และยังมีผลการตอบสนองที่ดีกว่าการออกแบบตัวควบคุมแบบพีไอดีไม่ว่าจะเป็นแบบพีไอดีทั่วไป หรือแบบพีไอดีที่มีดีคัทเพลอร์ และนอกจากนี้การหาค่าตัวควบคุมของ IMC ซึ่งคิดตามหลักการของ IMC โดยไม่รวมเดดไทม์นั้น จะส่งผลให้การออกแบบตัวควบคุมของ IMC มีสมรรถนะที่ดีขึ้น.

ภาควิชา วิศวกรรมเคมี
สาขาวิชา วิศวกรรมเคมี
ปีการศึกษา 2541

ลายมือชื่อนิสิต
ลายมือชื่ออาจารย์ที่ปรึกษา
ลายมือชื่ออาจารย์ที่ปรึกษาร่วม

C817736 MAJOR CHEMICAL ENGINEERING
KEY WORD: IMC / MIMO IMC / SISO IMC / MULTIVARIABLE CONTROL

THAWAL SAENGSAWANG: CONTROLLER DESIGN FOR MULTI-INPUT
MULTI-OUTPUT PROCESS USING INTERNAL MODEL CONTROL.
THESIS ADVISOR: MONTREE WONGSRI, Ph.D. 113 pp.
ISBN 974-331-817-8

The process in this research is multi-input multi-output process as two input variables and two output variables system with first order plus dead time. Three controller designs including multiloop multi-input multi-output IMC; MIMO IMC, multiloop single-input single-output IMC; SISO IMC and PID control are investigated and compared for the process mentioned above. Interestingly, the response of MIMO IMC controller design using a new approach called “Weighting Decouplers” and partial decouplers are more appropriate for the process studied than SISO IMC and PID either PID with or without decouplers controller designs. Additionally, The IMC controller evaluation, G_c^* without dead time applied causes the more efficient performance of IMC controller design.

ภาควิชา.....วิศวกรรมเคมี

สาขาวิชา.....วิศวกรรมเคมี

ปีการศึกษา..... 2541

ลายมือชื่อนิสิต..... 

ลายมือชื่ออาจารย์ที่ปรึกษา..... 

ลายมือชื่ออาจารย์ที่ปรึกษาร่วม.....



กิตติกรรมประกาศ

วิทยานิพนธ์ฉบับนี้สำเร็จลงได้โดยได้รับความช่วยเหลือจากหลายๆท่านผู้วิจัยขอขอบพระคุณอาจารย์ ดร.มนตรี วงศ์ศรี อาจารย์ที่ปรึกษาวิทยานิพนธ์ที่ได้ให้คำปรึกษา คำแนะนำ และข้อคิดเห็นต่างๆ ตลอดจนตรวจทานแก้ไขเกี่ยวกับการศึกษาวิจัยและการพัฒนางานวิจัยนี้มาโดยตลอด

ขอขอบพระคุณศาสตราจารย์ ดร.วิวัฒน์ ตันทะพานิชกุล ประธานกรรมการ ผู้ช่วยศาสตราจารย์ ดร.ไพศาล กิตติศุภกร และ ผู้ช่วยศาสตราจารย์ ดร.ธวัชชัย ชรินพานิชกุล กรรมการในการสอบวิทยานิพนธ์ ซึ่งได้ให้ความสนใจและข้อคิดเห็นที่เป็นประโยชน์แก่งานวิจัยนี้เป็นอย่างสูง
ขอบคุณเพื่อนๆ รุ่นพี่ และน้องๆ ที่ให้ความช่วยเหลือและเป็นกำลังใจ

ขอขอบพระคุณ บิดา มารดา ญาติผู้ใหญ่ พี่น้อง และผู้มีอุปการคุณซึ่งเลี้ยงดู สนับสนุน และให้กำลังใจจนสำเร็จการศึกษา

สารบัญ

	หน้า
บทคัดย่อภาษาไทย.....	ง
บทคัดย่อภาษาอังกฤษ.....	จ
กิตติกรรมประกาศ.....	ฉ
สารบัญ.....	ช
สารบัญตาราง.....	ญ
สารบัญภาพ.....	ฎ
บทที่ 1 บทนำ.....	1
1.1 ความเป็นมาและมูลเหตุจูงใจ.....	3
1.2 วัตถุประสงค์.....	4
1.3 ขอบเขต.....	5
1.4 ประโยชน์ที่คาดว่าจะได้รับ.....	5
1.5 โครงสร้างของวิทยานิพนธ์.....	6
บทที่ 2 ผลงานที่เกี่ยวข้อง	
2.1 คำนำ.....	7
2.2 ผลงานที่เกี่ยวข้องและที่ผ่านมา.....	7
บทที่ 3 การออกแบบ Multivariable IMC	
3.1 คำนำ.....	16
3.2 ผลกระทบของอินเตอร์แอกชันที่มีต่อระบบการควบคุมลูฟหนู.....	16
3.3 ทฤษฎีพื้นฐาน IMC.....	20
3.4 วิธีการออกแบบการควบคุม Multivariable IMC; MIMC.....	28
3.5 การจูนตัวควบคุม.....	38
3.6 การเปรียบเทียบผลการควบคุม.....	40
3.7 ระบบการควบคุมที่มีดีคัฟเพลเตอร์.....	42

บทที่ 4 วิธีการทดลองและผลการทดลอง

4.1 คำนำ..... 44

4.2 วิธีการทดลอง..... 45

 ตัวอย่างการทดลองที่ 1..... 45

 4.2.1 การควบคุมแบบพีไอดีทั่วไป..... 47

 4.2.2 การควบคุมแบบพีไอดีที่มีดีคัพเพลอร์..... 51

 4.2.3 การควบคุมแบบโมเดลภายในที่ไม่มีดีคัพเพลอร์..... 54

 4.2.4 การควบคุมแบบโมเดลภายในที่มีดีคัพเพลอร์..... 63

 ตัวอย่างการทดลองที่ 2..... 72

 4.2.5 การควบคุมแบบพีไอดีทั่วไป..... 74

 4.2.6 การควบคุมแบบพีไอดีที่มีดีคัพเพลอร์..... 76

 4.2.7 การควบคุมแบบโมเดลภายในที่ไม่มีดีคัพเพลอร์..... 81

 4.2.8 การควบคุมแบบโมเดลภายในที่มีดีคัพเพลอร์..... 86

บทที่ 5 สรุปและวิเคราะห์ผลการทดลอง

5.1 คำนำ..... 90

5.2 บทสรุปผลการวิจัย..... 91

 5.2.1 เปรียบเทียบการควบคุมตัวแปรอิสระ..... 91

 5.2.2 การเปรียบเทียบผลการควบคุมแบบ PID ทั่วไปกับที่มีดีคัพเพลอร์..... 92

 5.2.3 การเปรียบเทียบผลการควบคุมแบบ IMC ที่ไม่มีดีคัพเพลอร์และมีดีคัพเพลอร์.. 93

 5.2.4 การเปรียบเทียบผลการควบคุมแบบ PID ทั่วไป
 กับแบบ IMC ที่ไม่มีดีคัพเพลอร์..... 93

 5.2.5 การเปรียบเทียบผลการควบคุมแบบ PID ทั่วไปกับแบบ IMCที่มีดีคัพเพลอร์... 94

 5.2.6 การเปรียบเทียบผลการควบคุมแบบ PID ที่มีดีคัพเพลอร์
 กับแบบ IMC ที่ไม่มีดีคัพเพลอร์..... 94

5.2.7 การเปรียบเทียบผลการควบคุมแบบ PID ที่มีดีคัพเพลอร์ กับแบบ IMC ที่มีดีคัพเพลอร์.....	95
5.2.8 การเปรียบเทียบผลการควบคุม, G_c^* ในการควบคุมแบบ IMC.....	95
5.2.9 สรุปและวิจารณ์ผลการใช้ดีคัพเพลอร์แบบน้ำหนัก (Weighted Decouplers)...	95
5.3 ปัญหาและอุปสรรคในการวิจัย.....	101
5.4 ข้อเสนอแนะในการศึกษาค้นคว้าต่อไป.....	101
 รายการอ้างอิง.....	 103
 ภาคผนวก	
ภาคผนวกที่ 1.....	106
ภาคผนวกที่ 2.....	109
 ประวัติผู้วิจัย.....	 113

สารบัญตาราง

	หน้า
ตารางที่ 3.1 การคำนวณค่าตัวควบคุมโดยวิธีการของซิกเลอร์ – นิโคลส์.....	40
การทดลองที่ 1	
ตารางที่ 4.1 ค่า K_c และ τ_c ที่ได้จากการทดลองของ McAVOY.....	46
ตารางที่ 4.2 ค่า IAE เมื่อมีการเปลี่ยนเซ็ทพอยท์และโพลดสำหรับกรณีศึกษา 4.2.1.....	50
ตารางที่ 4.3 ค่า IAE เมื่อมีการเปลี่ยนเซ็ทพอยท์และโพลดสำหรับกรณีศึกษา 4.2.2.....	53
ตารางที่ 4.4 ค่า IAE สำหรับกรณีศึกษา 4.2.3 ของการทดลองที่ 1.....	57
ตารางที่ 4.5 ค่า IAE สำหรับกรณีศึกษา 4.2.3 ของการทดลองที่ 2.....	61
ตารางที่ 4.6 ค่า IAE เมื่อมีการจูนตัวควบคุมสำหรับการควบคุมแบบ IMC ที่ไม่รวมเลดไทม์....	62
ตารางที่ 4.7 ค่า IAE สำหรับการควบคุมแบบ IMC ที่มีดีคัพเพลอร์.....	65
ตารางที่ 4.8 ค่า IAE สำหรับการควบคุมแบบ IMC โดยใช้ดีคัพเพลอร์แบบครึ่งหนึ่ง (Partial Decoupling, D_2).....	65
ตารางที่ 4.9 ค่า IAE สำหรับการควบคุมแบบ IMC ที่มีดีคัพเพลอร์แบบนำหน้า โดยแยกตามกรณี.....	68
ตารางที่ 4.10 ค่า IAE เมื่อจูนตัวควบคุมสำหรับการควบคุมแบบ IMC ที่มีดีคัพเพลอร์แบบนำหน้า.....	70
การทดลองที่ 2	
ตารางที่ 4.11 ข้อมูลต่างๆที่ได้รับการจูนแล้ว.....	73
ตารางที่ 4.12 ค่า IAE เมื่อมีการเปลี่ยนเซ็ทพอยท์และโพลดสำหรับกรณีศึกษาพีไอดีก้าวไป.....	76
ตารางที่ 4.13 ค่า IAE สำหรับการควบคุมแบบพีไอดีที่มีดีคัพเพลอร์.....	78
ตารางที่ 4.14 ค่า K_c และ τ_c หลังจากการจูนตัวควบคุมแบบพีไอดีที่มีดีคัพเพลอร์.....	78
ตารางที่ 4.15 ค่า IAE สำหรับการควบคุมแบบ IMC ที่ไม่มีดีคัพเพลอร์.....	83
ตารางที่ 4.16 ค่า IAE เมื่อจูนตัวควบคุมสำหรับการควบคุมแบบ IMC ที่ไม่มีดีคัพเพลอร์.....	83
ตารางที่ 4.17 ค่า IAE สำหรับการควบคุมแบบ IMC ที่ใช้ดีคัพเพลอร์แบบนำหน้า.....	87
ตารางที่ 4.18 ค่า IAE เมื่อจูนตัวควบคุมสำหรับการควบคุมแบบ IMC ที่มีดีคัพเพลอร์แบบนำหน้า.....	88

สารบัญภาพ

	หน้า
รูป ก กระบวนการแบบหลายตัวแปร.....	2
รูป ข การออกแบบการควบคุมลูฟห่มุ.....	2
รูป ค การออกแบบการควบคุมหลายตัวแปร.....	3
รูปที่ 2.1 ความสัมพันธ์ของตัวแปรการจูน τ_c สำหรับกระบวนการอันดับหนึ่ง ที่มีเดดไทม์.....	12
รูปที่ 2.2 โครงสร้างการควบคุม SISO IMC แบบลูฟห่มุ.....	13
รูปที่ 3.1 ระบบการควบคุมลูฟห่มุ.....	17
รูปที่ 3.2 บล็อกไดอะแกรมสำหรับระบบ 2 X 2 แบบเปิด.....	19
รูปที่ 3.3 โครงสร้างทั่วไปของ IMC.....	20
รูปที่ 3.4 โครงสร้างป้อนกลับอย่างง่าย.....	21
รูปที่ 3.5 โมเดลแบบสองบล็อก.....	21
รูปที่ 3.6 โมเดลภายในที่มีตัวกรอง.....	23
รูปที่ 3.7 บล็อกไดอะแกรมการควบคุมป้อนกลับ.....	27
รูปที่ 3.8 บล็อกไดอะแกรมระบบ 2 X 2 ที่มีตัวควบคุมเป็นลูฟเดี่ยว.....	28
รูปที่ 3.9 บล็อกไดอะแกรมระบบ 2 X 2 ที่มีตัวควบคุมเป็นลูฟเดี่ยวสองลูฟ.....	29
รูปที่ 3.10 กระบวนการ SISO ที่มีหลายตัวแปร.....	31
รูปที่ 3.11 กระบวนการ MIMO ที่มีขนาด 2 X 2.....	31
รูปที่ 3.12 กระบวนการ MIMO ที่มีขนาด n X n.....	31
รูปที่ 3.13 ตัวควบคุมแบบ 1 – 1 / 2 – 2.....	33
รูปที่ 3.14 โครงสร้างการควบคุม Multiloop IMC.....	34
รูปที่ 3.15 แผนผังการรวมลูฟของ G_{c1}^* แบบ IMC.....	36
รูปที่ 3.16 แผนผังการรวมลูฟของ G_{c2}^* แบบ IMC.....	37

รูปที่ 4.1	หอกลับสำหรับการควบคุมที่มีหลายตัวแปร.....	46
รูปที่ 4.2	บล็อกไดอะแกรมการควบคุมแบบพีไอดีทั่วไป.....	48
รูปที่ 4.3	ผลการตอบสนองการควบคุมแบบพีไอดีทั่วไป ที่ $y_1 = 1, y_2 = 0$	49
รูปที่ 4.4	ผลการตอบสนองการควบคุมแบบพีไอดีทั่วไป ที่ $y_1 = 0, y_2 = 1$	49
รูปที่ 4.5	ผลการตอบสนองเมื่อมีการเปลี่ยนแปลงโหลด.....	50
รูปที่ 4.6	บล็อกไดอะแกรมการควบคุมแบบพีไอดี ที่มีดีคัพเพลอร์.....	51
รูปที่ 4.7	ผลการตอบสนองการควบคุมแบบพีไอดี ที่มีดีคัพเพลอร์ ที่ $y_1 = 1, y_2 = 0$	52
รูปที่ 4.8	ผลการตอบสนองการควบคุมแบบพีไอดี ที่มีดีคัพเพลอร์ ที่ $y_1 = 0, y_2 = 1$	52
รูปที่ 4.9	ผลการตอบสนองเมื่อมีการเปลี่ยนแปลงโหลด.....	53
รูปที่ 4.10	บล็อกไดอะแกรมการควบคุมแบบ IMC ที่ไม่มีดีคัพเพลอร์.....	56
รูปที่ 4.11	ผลการควบคุมแบบ IMC ที่ไม่มีดีคัพเพลอร์ ที่รวมเดดไทม์ ที่ $y_1 = 1, y_2 = 0$	56
รูปที่ 4.12	ผลการควบคุมแบบ IMC ที่ไม่มีดีคัพเพลอร์ ที่รวมเดดไทม์ ที่ $y_1 = 0, y_2 = 1$	56
รูปที่ 4.13	ผลการตอบสนองเมื่อมีการเปลี่ยนแปลงโหลด.....	57
รูปที่ 4.14	ผลการควบคุมแบบ IMC ที่ไม่มีดีคัพเพลอร์ ไม่รวมเดดไทม์ ที่ $y_1 = 1, y_2 = 0$	59
รูปที่ 4.15	ผลการควบคุมแบบ IMC ที่ไม่มีดีคัพเพลอร์ ไม่รวมเดดไทม์ ที่ $y_1 = 0, y_2 = 1$	60
รูปที่ 4.16	ผลการตอบสนองเมื่อมีการเปลี่ยนแปลงโหลด.....	60
รูปที่ 4.17	ผลการตอบสนองหลังการจูนตัวควบคุม เมื่อ.....	63
รูปที่ 4.18	บล็อกไดอะแกรมการควบคุมแบบ IMC ที่มีดีคัพเพลอร์.....	64
รูปที่ 4.19	ผลการควบคุมแบบ IMC ที่มีดีคัพเพลอร์ ที่ $y_1 = 1, y_2 = 0$	64
รูปที่ 4.20	บล็อกไดอะแกรมการควบคุมแบบ IMC โดยการใช้ดีคัพเพลอร์แบบนำหน้า.....	66
รูปที่ 4.21	ผลการจูนตัวควบคุมแบบ IMC ที่ใช้ดีคัพเพลอร์แบบนำหน้า ที่ $y_1 = 1, y_2 = 0$	71
รูปที่ 4.22	ผลการจูนตัวควบคุมแบบ IMC ที่ใช้ดีคัพเพลอร์แบบนำหน้า ที่ $y_1 = 0, y_2 = 1$	71

	หน้า
รูปที่ 4.23 หอกลับสำหรับการควบคุม.....	72
รูปที่ 4.24 ผลการควบคุมแบบพีไอดีทั่วไป ที่ $y_1 = 0.005$, $y_2 = 0$	74
รูปที่ 4.25 ผลการควบคุมแบบพีไอดีทั่วไป ที่ $y_1 = 0$, $y_2 = 0.005$	75
รูปที่ 4.26 ผลการตอบสนองเมื่อมีการเปลี่ยนแปลง โหลด.....	75
รูปที่ 4.27 ผลการควบคุมแบบพีไอดีที่มีดีคัพเพลอร์ ที่ $y_1 = 0.005$, $y_2 = 0$	76
รูปที่ 4.28 ผลการควบคุมแบบพีไอดีที่มีดีคัพเพลอร์ ที่ $y_1 = 0$, $y_2 = 0.005$	77
รูปที่ 4.29 ผลการควบคุมแบบพีไอดีที่มีดีคัพเพลอร์ เมื่อมีการเปลี่ยนแปลง โหลด.....	77
รูปที่ 4.30 ผลการควบคุมแบบพีไอดีที่มีดีคัพเพลอร์หลังการจูน ที่ $y_1 = 0.005$, $y_2 = 0$	79
รูปที่ 4.31 ผลการควบคุมแบบพีไอดีที่มีดีคัพเพลอร์หลังการจูน ที่ $y_1 = 0$, $y_2 = 0.005$	79
รูปที่ 4.32 ผลการควบคุมแบบพีไอดีที่มีดีคัพเพลอร์หลังการจูน เมื่อเปลี่ยน โหลด(-0.04).....	80
รูปที่ 4.33 ผลการควบคุมแบบ IMC ที่ไม่มีดีคัพเพลอร์ ที่ $y_1 = 0.005$, $y_2 = 0$	81
รูปที่ 4.34 ผลการควบคุมแบบ IMC ที่ไม่มีดีคัพเพลอร์ ที่ $y_1 = 0$, $y_2 = 0.005$	82
รูปที่ 4.35 ผลการควบคุมแบบ IMC ที่ไม่มีดีคัพเพลอร์ เมื่อเปลี่ยน โหลด (-0.04).....	82
รูปที่ 4.36 ผลการควบคุมแบบ IMC ที่ไม่มีดีคัพเพลอร์ หลังการจูน ที่ $y_1 = 0.005$, $y_2 = 0$	84
รูปที่ 4.37 ผลการควบคุมแบบ IMC ที่ไม่มีดีคัพเพลอร์ หลังการจูน ที่ $y_1 = 0$, $y_2 = 0.005$	85
รูปที่ 4.38 ผลการควบคุมแบบ IMC ที่ไม่มีดีคัพเพลอร์ หลังการจูน เมื่อเปลี่ยน โหลด (-0.04).....	85
รูปที่ 4.39 ผลการจูนตัวควบคุมแบบ IMC ที่ใช้ดีคัพเพลอร์แบบน้ำหนัก ที่ $y_1 = 0.005$, $y_2 = 0$	89
รูปที่ 4.40 ผลการจูนตัวควบคุมแบบ IMC ที่ใช้ดีคัพเพลอร์แบบน้ำหนัก ที่ $y_1 = 0$, $y_2 = 0.005$	89

รูปที่ 4.23 หอกลับสำหรับการควบคุม.....	72
รูปที่ 4.24 ผลการควบคุมแบบพีไอดีทั่วไป ที่ $y_1 = 0.005, y_2 = 0$	74
รูปที่ 4.25 ผลการควบคุมแบบพีไอดีทั่วไป ที่ $y_1 = 0, y_2 = 0.005$	75
รูปที่ 4.26 ผลการตอบสนองเมื่อมีการเปลี่ยนแปลงโหลด.....	75
รูปที่ 4.27 ผลการควบคุมแบบพีไอดีที่มีคัตเฟลอร์ ที่ $y_1 = 0.005, y_2 = 0$	76
รูปที่ 4.28 ผลการควบคุมแบบพีไอดีที่มีคัตเฟลอร์ ที่ $y_1 = 0, y_2 = 0.005$	77
รูปที่ 4.29 ผลการควบคุมแบบพีไอดีที่มีคัตเฟลอร์ เมื่อมีการเปลี่ยนแปลงโหลด.....	77
รูปที่ 4.30 ผลการควบคุมแบบพีไอดีที่มีคัตเฟลอร์หลังการจูน ที่ $y_1 = 0.005, y_2 = 0$	79
รูปที่ 4.31 ผลการควบคุมแบบพีไอดีที่มีคัตเฟลอร์หลังการจูน ที่ $y_1 = 0, y_2 = 0.005$	79
รูปที่ 4.32 ผลการควบคุมแบบพีไอดีที่มีคัตเฟลอร์หลังการจูน เมื่อเปลี่ยน โหลด(-0.04).....	80
รูปที่ 4.33 ผลการควบคุมแบบ IMC ที่ไม่มีคัตเฟลอร์ ที่ $y_1 = 0.005, y_2 = 0$	81
รูปที่ 4.34 ผลการควบคุมแบบ IMC ที่ไม่มีคัตเฟลอร์ ที่ $y_1 = 0, y_2 = 0.005$	82
รูปที่ 4.35 ผลการควบคุมแบบ IMC ที่ไม่มีคัตเฟลอร์ เมื่อเปลี่ยน โหลด (-0.04).....	82
รูปที่ 4.36 ผลการควบคุมแบบ IMC ที่ไม่มีคัตเฟลอร์ หลังการจูน ที่ $y_1 = 0.005, y_2 = 0$	84
รูปที่ 4.37 ผลการควบคุมแบบ IMC ที่ไม่มีคัตเฟลอร์ หลังการจูน ที่ $y_1 = 0, y_2 = 0.005$	85
รูปที่ 4.38 ผลการควบคุมแบบ IMC ที่ไม่มีคัตเฟลอร์ หลังการจูน เมื่อเปลี่ยน โหลด (-0.04).....	85
รูปที่ 4.39 ผลการจูนตัวควบคุมแบบ IMC ที่ใช้คัตเฟลอร์แบบน้ำหนัก ที่ $y_1 = 0.005, y_2 = 0$	89
รูปที่ 4.40 ผลการจูนตัวควบคุมแบบ IMC ที่ใช้คัตเฟลอร์แบบน้ำหนัก ที่ $y_1 = 0, y_2 = 0.005$	89

รูปที่ 5.1 เปรียบเทียบการควบคุมทั้ง 4 แบบ กรณีเปลี่ยนเซ็ทพอยท์ ที่ $y_1 = 1$, $y_2 = 0$ ของการทดลองที่ 1.....	97
รูปที่ 5.2 เปรียบเทียบการควบคุมทั้ง 4 แบบ กรณีเปลี่ยนโพลด์ของการทดลองที่ 1.....	98
รูปที่ 5.3 เปรียบเทียบการควบคุมทั้ง 4 แบบ กรณีเปลี่ยนเซ็ทพอยท์ ที่ $y_1 = 0.005$, $y_2 = 0$ ของการทดลองที่ 2.....	99
รูปที่ 5.4 เปรียบเทียบการควบคุมทั้ง 4 แบบ กรณีเปลี่ยนโพลด์ที่ -0.04 ของการทดลองที่ 2.....	100

ภาคผนวก 1

รูปที่ 1 การหาค่า K_{CU} และ P_U ของ X_D ครั้งที่ 1.....	106
รูปที่ 2 การหาค่า K_{CU} และ P_U ของ X_B ครั้งที่ 1.....	107
รูปที่ 3 การหาค่า K_{CU} และ P_U ของ X_D ครั้งที่ 2.....	108

ภาคผนวก 2

รูปที่ 1 ห้องสมุดของบล็อกไดอะแกรมของ Simulink.....	109
รูปที่ 2 บล็อกที่เป็นตัวกำเนิดสัญญาณแบบต่างๆ.....	109
รูปที่ 3 รูปแบบของสัญญาณส่งออกแบบต่างๆ.....	110
รูปที่ 4 บล็อกไดอะแกรมของดีสครีตแบบต่างๆ.....	110
รูปที่ 5 บล็อกไดอะแกรมและเกนแบบต่างๆ ที่เป็นแบบเชิงเส้น.....	111
รูปที่ 6 บล็อกไดอะแกรมและเกนแบบต่างๆ ที่เป็นแบบไม่เชิงเส้น.....	111
รูปที่ 7 บล็อกไดอะแกรมของตัวเชื่อมสัญญาณแบบต่างๆ.....	112
รูปที่ 8 บล็อกไดอะแกรมของอุปกรณ์ควบคุมเพิ่มเติม.....	112